

УДК 539.3

ФУНДАМЕНТАЛЬНЫЕ РЕШЕНИЯ В ЗАДАЧАХ ИЗГИБА АНИЗОТРОПНЫХ ПЛАСТИН

В. Н. Максименко, Е. Г. Подружин

Новосибирский государственный технический университет, 630092 Новосибирск

На основе технической теории изгиба тонких анизотропных пластин (гипотезы Кирхгофа — Лява) строятся представления фундаментальных решений для анизотропных, в частности ортотропных, пластин, имеющих каноническую форму (полуплоскость, квадрант, полоса, полуполоса, прямоугольник, неограниченная пластина с эллиптическим отверстием).

Ключевые слова: анизотропная пластина, изгиб, сосредоточенная нагрузка, комплексные потенциалы, фундаментальное решение.

При решении задач упругого растяжения и изгиба анизотропных пластин важную роль играют фундаментальные решения (решения для сосредоточенных нагрузок и дислокаций), с помощью которых путем интегрирования могут быть получены решения задачи о действии нагрузок, распределенных по линиям или площадкам (областям). При решении задач изгиба анизотропных пластин, имеющих концентраторы напряжений в форме вырезов, отверстий, трещин, знание фундаментальных решений позволяет записывать потенциальные представления на контуре концентраторов напряжений в виде интегралов типа Коши и численно решать краевую задачу. Кроме того, часть краевых условий на контуре пластины может выполняться автоматически, что облегчает численную реализацию. Полученные ниже решения сравниваются с известными решениями для изотропных пластин [1].

1. Рассмотрим однородную пластину из материала с прямолинейной анизотропией (необязательно ортотропного), занимающую область $D = \{|x| < \infty, |y| < \infty\}$. В точке τ с координатами $x = \xi, y = \eta$ приложены сосредоточенные нагрузки: P_z — сосредоточенная поперечная сила; M_x, M_y — сосредоточенные изгибающие моменты. Следуя классической теории изгиба тонких анизотропных пластин [2], упругие комплексные потенциалы Лехницкого могут быть представлены в виде

$$\begin{aligned} \Phi_\nu(z_\nu) &= E_\nu^1(z_\nu, \tau) + M_\nu^1(z_\nu, \tau), \quad E_\nu^1(z_\nu, \tau) = A_\nu \ln(z_\nu - \tau), \quad M_\nu^1(z_\nu, \tau) = B_\nu / (z_\nu - \tau), \\ z_\nu &= \operatorname{Re} z + \mu_\nu \operatorname{Im} z, \quad \tau_\nu = \xi + \mu_\nu \eta \quad (\nu = 1, 2); \\ \varphi_\nu(z_\nu) &= A_\nu [\ln(z_\nu - \tau_\nu) - 1](z_\nu - \tau_\nu) + B_\nu \ln(z_\nu - \tau_\nu) + D_\nu, \\ F_\nu(z_\nu) &= A_\nu (z_\nu - \tau_\nu)^2 [\ln(z_\nu - \tau_\nu) - 3/2]/2 + B_\nu (z_\nu - \tau_\nu) [\ln(z_\nu - \tau_\nu) - 1] + D_\nu z_\nu + G_\nu, \\ F_\nu''(z_\nu) &= \Phi_\nu(z_\nu), \quad \varphi_\nu'(z_\nu) = \Phi_\nu(z_\nu) \quad (\nu = 1, 2). \end{aligned} \tag{1}$$

Здесь член $E_\nu^1(z_\nu, \tau)$ соответствует сосредоточенной силе P_z , $M_\nu^1(z_\nu, \tau)$ — сосредоточенному изгибающему моменту с компонентами M_x, M_y . Слагаемые $D_\nu z_\nu + G_\nu$ в выражении для $F_\nu(z_\nu)$ определяют перемещение пластины как жесткого целого; A_ν, B_ν — неизвестные комплексные константы.

Функции $\varphi_\nu(z_\nu)$, $F_\nu(z_\nu)$ являются многозначными. При обходе точки $\tau = \xi + i\eta$ по произвольному замкнутому контуру L они получают приращения (поскольку выражаются через многозначную функцию $\ln(z_\nu - \tau_\nu)$), которые имеют вид

$$\begin{aligned} \{\varphi_\nu(z_\nu)\}_L &= 2\pi i[A_\nu(z_\nu - \tau_\nu) + B_\nu], & \{\Phi_\nu(z_\nu)\} &= 2\pi i A_\nu, \\ \{F_\nu(z_\nu)\}_L &= 2\pi i[A_\nu(z_\nu - \tau_\nu)^2/2 + B_\nu(z_\nu - \tau_\nu)], & \nu &= 1, 2. \end{aligned}$$

Уравнения для определения A_ν , B_ν получаются из условия однозначности тангенциальных смещений и прогибов ($u + iv$, w) в пластине, а также из условия равновесия части пластины, ограниченной контуром L :

$$\sum_{\nu=1}^2 (\mu_\nu^{k-2} A_\nu - \bar{\mu}_\nu^{k-2} \bar{A}_\nu) = f_k \quad (k = \overline{1, 4}), \quad f_1 = \frac{P_z}{2\pi i D_{11}}, \quad f_j = 0 \quad (j = \overline{2, 4}), \quad (2)$$

$$\sum_{\nu=1}^2 (\mu_\nu^{k-2} B_\nu - \bar{\mu}_\nu^{k-2} \bar{B}_\nu) = d_k \quad (k = \overline{1, 4}), \quad d_1 = \frac{M_y}{2\pi i D_{11}}, \quad d_4 = \frac{M_x}{2\pi i D_{22}}, \quad d_3 = d_2 = 0.$$

Здесь D_{11} , D_{22} — цилиндрические жесткости пластины в направлении осей x , y .

Угол между главным направлением ортотропии E_1 и осью x обозначим через φ . При $\varphi = 0$ для ортотропного материала имеем $\mu_{1,2} = \pm\alpha + i\beta$. В этом случае $\text{Im } A_1 = -\text{Im } A_2$ и для A_ν получаются простые выражения

$$A_{1,2} = |\mu_1|^2 P_z (\alpha \mp i\beta) / (16\pi\alpha\beta D_{11}).$$

2. Рассмотрим анизотропную полуплоскость $D = \{x \geq 0, |y| < \infty\}$, жестко защемленную вдоль линии $x = 0$. Пусть в точке с координатами $x = \xi$, $y = \eta$ приложена сосредоточенная сила P_z . С учетом аналогии между плоской задачей и задачей изгиба пластин [3] выражения для комплексных потенциалов можно записать в следующем виде:

$$\begin{aligned} \Phi_\nu(z_\nu) &= E_\nu^2(z_\nu, \tau) = A_\nu \ln \frac{z_\nu - \tau_\nu}{\mu_\nu} + \bar{A}_1 l_\nu s_\nu \ln \frac{s_\nu z_\nu - \bar{\tau}_1}{\bar{\mu}_1} + \bar{A}_2 n_\nu m_\nu \ln \frac{m_\nu z_\nu - \bar{\tau}_2}{\bar{\mu}_2}, \\ l_\nu &= \frac{\mu_{3-\nu} - \bar{\mu}_1}{\mu_\nu - \mu_{3-\nu}}, \quad s_\nu = \frac{\bar{\mu}_1}{\mu_\nu}, \quad n_\nu = \frac{\mu_{3-\nu} - \bar{\mu}_2}{\mu_\nu - \mu_{3-\nu}}, \quad m_\nu = \frac{\bar{\mu}_2}{\mu_\nu}, \quad \nu = 1, 2. \end{aligned} \quad (3)$$

Первое слагаемое в (3) с точностью до комплексной постоянной соответствует решению для бесконечной пластины при действии сосредоточенной силы. Второе и третье слагаемые — функции, регулярные в рассматриваемой области и обеспечивающие выполнение условий жесткого защемления ($w = w_x = 0$) вдоль линии $x = 0$ за счет надлежащего выбора комплексных постоянных l_ν , n_ν (в несколько ином виде решение для анизотропной жестко защемленной полуплоскости получено в [4]).

Для свободного края $x = 0$ полуплоскости из краевого условия получается система уравнений для определения констант l_ν , n_ν

$$\begin{aligned} l_1 p_1 s_1 + l_2 p_2 s_2 &= -\bar{p}_1, & l_1 s_1^2 q_1 \mu_1^2 + l_2 s_2^2 q_2 \mu_2^2 &= -\bar{q}_1^2 \bar{\mu}_1^2, \\ n_1 p_1 m_1 + n_2 p_2 m_2 &= -\bar{p}_2, & n_1 m_1^2 q_1 \mu_1^2 + n_2 m_2^2 q_2 \mu_2^2 &= -\bar{q}_2^2 \bar{\mu}_2^2, \end{aligned}$$

откуда следует

$$l_\nu = \frac{q_\lambda \bar{p}_1 / \bar{\mu}_1 - \bar{q}_1 p_\lambda / \mu_\lambda}{q_\nu p_\lambda / \mu_\lambda - q_\lambda p_\nu / \mu_\nu}, \quad n_\nu = \frac{q_\lambda \bar{p}_2 / \bar{\mu}_2 - \bar{q}_2 p_\lambda / \mu_\lambda}{q_\nu p_\lambda / \mu_\lambda - q_\lambda p_\nu / \mu_\nu}, \quad \lambda = 3 - \nu. \quad (4)$$

Для свободно опертого края ($x = 0$) полуплоскости из краевого условия получаем

$$l_1 p_1 s_1 + l_2 p_2 s_2 = -\bar{p}_1, \quad l_1 s_1^{-1} + l_2 s_2^{-1} = -1,$$

$$n_1 p_1 m_1 + n_2 p_2 m_2 = -\bar{p}_2, \quad n_1 m_1^{-1} + n_2 m_2^{-1} = -1,$$

соответственно

$$l_\nu = \frac{\bar{\mu}_1 p_\lambda / \mu_\lambda - \mu_\lambda \bar{p}_1 / \bar{\mu}_1}{\mu_\lambda p_\nu / \mu_\nu - \mu_\nu p_\lambda / \mu_\lambda}, \quad n_\nu = \frac{\bar{\mu}_2 p_\lambda / \mu_\lambda - \mu_\lambda \bar{p}_2 / \bar{\mu}_2}{\mu_\lambda p_\nu / \mu_\nu - \mu_\nu p_\lambda / \mu_\lambda}.$$

Рассмотрим ортотропную ($\varphi = 0$) полуплоскость $D = \{x \geq 0, |y| < \infty\}$ со свободно опертым краем $x = 0$. Приложив к неограниченной пластине две сосредоточенные силы, одинаковые по модулю, но противоположные по направлению, симметрично относительно оси y , используя принцип суперпозиции, можно получить выражение для комплексных потенциалов при изгибе свободно опертой полуплоскости сосредоточенной силой

$$\Phi_\nu(z_\nu) = E_\nu^3(z_\nu, \tau) = E_\nu^1(z_\nu, \tau) - E_\nu^1(z_\nu, -\bar{\tau}) = A_\nu \ln((z_\nu - \tau_\nu)/(z_\nu + \tau_\nu^*)), \\ \tau_\nu^* = \xi - \mu_\nu \eta, \quad \nu = 1, 2.$$

Последняя формула может быть получена из формулы (3) при замене упругих параметров с учетом ортотропии материала.

3. Рассмотрим квадрант (первую четверть комплексной плоскости). Положим $\varphi = 0$. Если к полубесконечной ортотропной пластине со свободно опертым краем приложить сосредоточенные силы противоположного знака симметрично относительно оси x , то получим решение задачи о действии сосредоточенной силы, приложенной во внутренней точке квадранта, свободно опертого по сторонам $x = 0, y = 0$:

$$\Phi_\nu(z_\nu) = E_\nu^4(z_\nu, \tau) = E_\nu^1(z_\nu, \tau) + E_\nu^1(z_\nu, -\tau) - E_\nu^1(z_\nu, \bar{\tau}) - E_\nu^1(z_\nu, -\bar{\tau}), \\ \Phi_\nu(z_\nu) = A_\nu \ln \frac{(z_\nu - \tau_\nu)(z_\nu + \tau_\nu)}{(z_\nu + \tau_\nu^*)(z_\nu - \tau_\nu^*)}, \quad \tau_\nu^* = \xi - \mu_\nu \eta, \quad \nu = 1, 2.$$

Рассмотрим ортотропную полуплоскость $D = \{x \geq 0, |y| < \infty\}$, $\varphi = 0$, жестко защемленную вдоль линии $x = 0$. Если к ортотропной полуплоскости приложить две сосредоточенные силы, одинаковые по величине и противоположные по направлению, симметрично относительно оси x , то получим решение задачи изгиба ортотропного квадранта ($x \geq 0, y \geq 0$), жестко защемленного по стороне $x = 0$ и свободно опертого по стороне $y = 0$. Комплексные потенциалы запишутся следующим образом:

$$\Phi_\nu(z_\nu) = E_\nu^5(z_\nu, \tau) = E_\nu^2(z_\nu, \tau) - E_\nu^2(z_\nu, \bar{\tau}), \\ \Phi_\nu(z_\nu) = A_\nu \ln \frac{z_\nu - \tau_\nu}{z_\nu - \tau_\nu^*} + \bar{A}_1 l_\nu s_\nu \ln \frac{s_\nu z_\nu - \bar{\tau}_1}{s_\nu z_\nu - \bar{\tau}_1^*} + \bar{A}_2 n_\nu m_\nu \ln \frac{m_\nu z_\nu - \bar{\tau}_2}{m_\nu z_\nu - \bar{\tau}_2^*}, \\ \tau_\nu^* = \xi - \mu_\nu \eta, \quad \nu = 1, 2.$$

4. Пусть анизотропная плоскость нагружена периодической системой сосредоточенных сил, расположенных на линии, параллельной оси x . В этом случае в выражении (1) необходимо $\ln(z_\nu - \tau_\nu)$ заменить на $\ln\{\sin[\omega(z_\nu - \tau_{\nu k})]\}$, тогда комплексные потенциалы примут вид

$$\Phi_\nu(z_\nu) = E_\nu^6(z_\nu, \tau) = A_\nu \ln \{\sin[\omega(z_\nu - \tau_{\nu k})]\}, \\ \omega = \pi/l, \quad \tau_{\nu k} = \tau_\nu + kl \quad (k = 0, \pm 1, \pm 2, \dots, \pm \infty). \quad (5)$$

Здесь l — период приложения нагрузки.

Нагрузим ортотропную плоскость ($\varphi = 0$) двумя периодическими системами сосредоточенных сил (рис. 1). Используя принцип суперпозиции, с учетом (5) в задаче изгиба бесконечной полосы (шириной l), нагруженной сосредоточенной силой в произвольной точке, получим выражения для комплексных потенциалов

$$\Phi_\nu(z_\nu) = E_\nu^7(z_\nu, \tau) = A_\nu \ln \{\sin[\omega(z_\nu - \tau_{\nu k})] / \sin[\omega(z_\nu - t_{\nu k})]\},$$

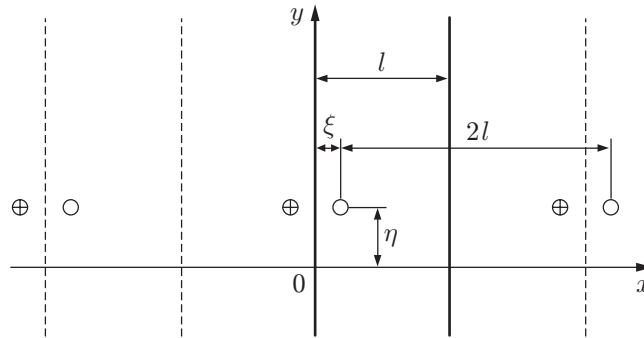


Рис. 1

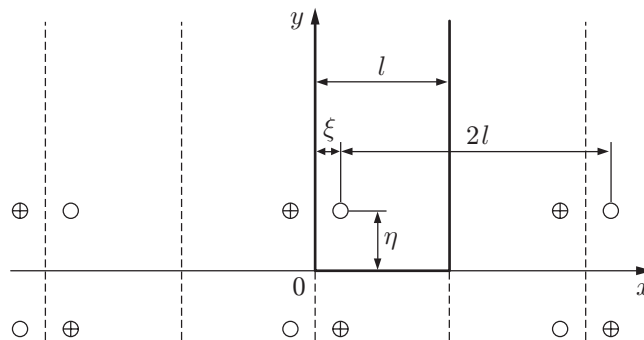


Рис. 2

$$t_{\nu k} = -\xi + \mu_{\nu}\eta + 2l(k + 1), \quad \tau_{\nu k} = \xi + \mu_{\nu}\eta + 2kl, \quad (6)$$

$$\omega = \pi/(2l), \quad t_{\nu k} - \tau_{\nu k} = 2(l - \xi) \quad (k = 0, \pm 1, \pm 2, \dots, \pm \infty).$$

Следует отметить, что первообразная функции $\Phi_{\nu}(z_{\nu})$, так же как функции $\varphi_{\nu}(z_{\nu}) = F'_{\nu}(z_{\nu})$ в формулах (5), (6), получаются в виде бесконечных рядов [1, 5].

5. Пусть ортотропная полуполоса $D = \{0 \leq y < \infty, 0 \leq x \leq l\}$, $\varphi = 0$ со свободно опертыми кромками нагружена в точке $\tau = \xi + i\eta$ сосредоточенной силой. Соответствующее решение может быть получено суммированием решения для системы, представленной на рис. 2.

Комплексные потенциалы принимают вид

$$\Phi_{\nu}(z_{\nu}) = E_{\nu}^8(z_{\nu}, \tau) = A_{\nu} \ln \left(\frac{\sin [\omega(z_{\nu} - \tau_{\nu k})] \sin [\omega(z_{\nu} - t_{\nu k}^*)]}{\sin [\omega(z_{\nu} - t_{\nu k})] \sin [\omega(z_{\nu} - \tau_{\nu k}^*)]} \right),$$

$$t_{\nu k} = -\xi + \mu_{\nu}\eta + 2l(k + 1), \quad \tau_{\nu k} = \xi + \mu_{\nu}\eta + 2kl,$$

$$t_{\nu k}^* = -\xi - \mu_{\nu}\eta + 2l(k + 1), \quad \tau_{\nu k}^* = \xi - \mu_{\nu}\eta + 2kl,$$

$$\omega = \pi/(2l), \quad t_{\nu k} - \tau_{\nu k} = t_{\nu k}^* - \tau_{\nu k}^* = 2(l - \xi) \quad (k = 0, \pm 1, \pm 2, \dots, \pm \infty).$$

На основе решения для свободно опертой полуполосы можно получить решение для ортотропной ($\varphi = 0$) пластины прямоугольной формы, свободно опертой по сторонам, для чего в полосе необходимо приложить нагрузку (рис. 3). В этом случае выражения для комплексных потенциалов получаются в виде бесконечного ряда

$$\Phi_{\nu}(z_{\nu}) = E_{\nu}^9(z_{\nu}, \tau) = \sum_{n=0}^{\infty} A_{\nu} \ln \left(\frac{\sin [\omega(z_{\nu} - \tau_{\nu kn})] \sin [\omega(z_{\nu} - t_{\nu kn}^*)]}{\sin [\omega(z_{\nu} - t_{\nu kn})] \sin [\omega(z_{\nu} - \tau_{\nu kn}^*)]} \right),$$

$$t_{\nu kn} = -\xi + \mu_{\nu}(\eta + n2l_1) + 2l(k + 1), \quad \tau_{\nu kn} = \xi + \mu_{\nu}(\eta + n2l_1) + 2kl,$$

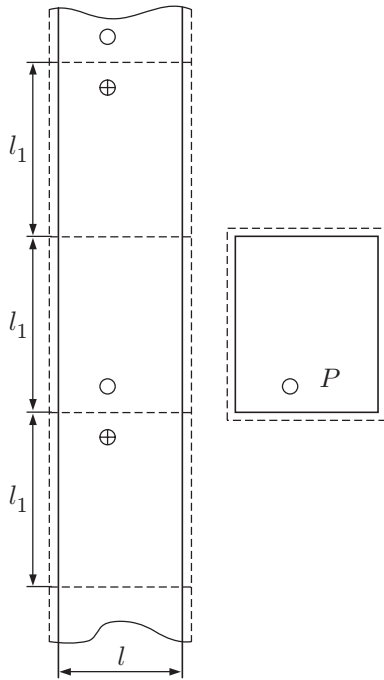


Рис. 3

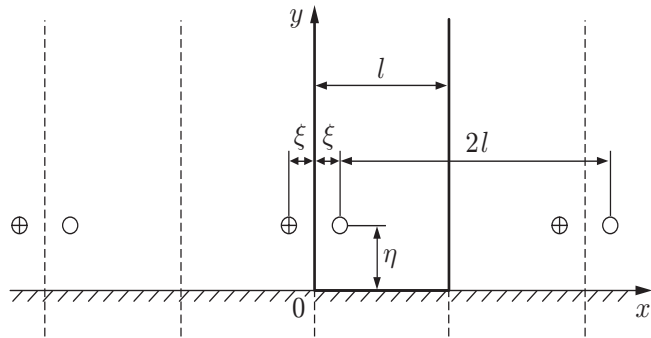


Рис. 4

$$t_{\nu kn}^* = -\xi - \mu_\nu(\eta + n2l_1) + 2l(k + 1), \quad \tau_{\nu kn}^* = \xi - \mu_\nu(\eta + n2l_1) + 2kl,$$

$$\omega = \pi/(2l), \quad t_{\nu kn} - \tau_{\nu kn} = t_{\nu kn}^* - \tau_{\nu kn}^* = 2(l - \xi)$$

$$(k = 0, \pm 1, \pm 2, \dots, \pm\infty, \quad n = 0, 1, 2, 3, \dots, \infty).$$

Данный ряд сходится достаточно быстро, поэтому для определения статических или кинематических величин достаточно удержать под знаком суммы 3–4 слагаемых.

6. Пусть имеется ортотропная полуполоса $D = \{0 \leq y < \infty, 0 \leq x \leq l\}$, $\varphi = 0$, свободно опертая по полубесконечным сторонам $x = 0, l$ и жестко защемленная по стороне $y = 0$ длиной l . Решение задачи о действии сосредоточенной силы в такой пластине может быть получено суммированием решения для системы, представленной на рис. 4. Для верхней полуплоскости $y \geq 0$ комплексные потенциалы (3) принимают вид

$$\Phi_\nu(z_\nu) = A_\nu \ln(z_\nu - \tau_\nu) + \bar{A}_1 l_\nu \ln(z_\nu - \bar{\tau}_1) + \bar{A}_2 n_\nu \ln(z_\nu - \bar{\tau}_2).$$

Решение для верхней полуплоскости, нагруженной периодической системой сосредоточенных сил, записывается следующим образом:

$$\Phi_\nu(z_\nu) = E_\nu^{10}(z_\nu, \tau) = A_\nu \ln \{ \sin [\omega(z_\nu - \tau_{\nu k})] \} +$$

$$+ \bar{A}_1 l_\nu \ln \{ \sin [\omega(z_\nu - \bar{\tau}_{1k})] \} + \bar{A}_2 n_\nu \ln \{ \sin [\omega(z_\nu - \bar{\tau}_{2k})] \},$$

$$\omega = \pi/(2l), \quad \tau_{\nu k} = \xi + \mu_\nu \eta + 2lk.$$

Комплексные потенциалы для полуполосы (рис. 4) принимают вид

$$\Phi_\nu(z_\nu) = E_\nu^{11}(z_\nu, \tau) = E_\nu^{10}(z_\nu, \tau) - E_\nu^{10}(z_\nu, t) =$$

$$= A_\nu \ln \frac{\sin [\omega(z_\nu - \tau_{\nu k})]}{\sin [\omega(z_\nu - t_{\nu k})]} + \bar{A}_1 l_\nu \ln \frac{\sin [\omega(z_\nu - \bar{\tau}_{1k})]}{\sin [\omega(z_\nu - \bar{t}_{1k})]} + \bar{A}_2 n_\nu \ln \frac{\sin [\omega(z_\nu - \bar{\tau}_{2k})]}{\sin [\omega(z_\nu - \bar{t}_{2k})]}, \quad (7)$$

$$\omega = \pi/(2l), \quad \tau_{\nu k} = \xi + \mu_\nu \eta + 2lk, \quad t_{\nu k} = -\xi + \mu_\nu \eta + 2l(k + 1)$$

$$(k = 0, \pm 1, \pm 2, \pm 3, \dots, \pm\infty).$$

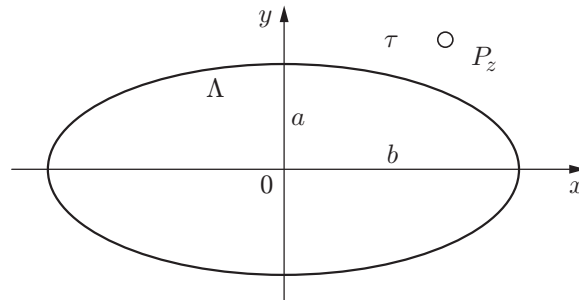


Рис. 5

Используя полученные комплексные потенциалы, по аналогии с заземленной полуплоскостью можно записать фундаментальные решения для ортотропного квадранта со свободной и свободно опертой кромками, а также решение для полуполосы со свободной конечной кромкой и свободно опертыми полубесконечными сторонами. Соотношения для свободно опертой ортотропной полуполосы могут быть получены непосредственно из (7) при замене упругих параметров с учетом ортотропии материала (при соответствующих значениях l_ν, n_ν).

7. Полученные выше фундаментальные решения можно использовать для построения комплексных потенциалов (для перечисленных областей) в случае действия сосредоточенной пары сил с единичным моментом $M = \exp(i\psi)$, приложенным в точке $\tau = \xi + i\eta$:

$$\Phi_\nu(z_\nu) = M_\nu^k(z_\nu, \tau, \psi) = \frac{d}{ds} [E_\nu^k(z_\nu, \tau + s \exp(i\psi))]_{s=0}, \quad \nu = 1, 2.$$

При этом комплексные константы A_ν заменяются на B_ν :

$$B_\nu = A_\nu H(\psi), \quad H(\psi) = \cos \psi + \mu_\nu \sin \psi.$$

8. Пусть бесконечная пластина (анизотропная) имеет эллиптическое отверстие Λ (рис. 5). Начало координат поместим в центр эллипса, а направления осей координат x, y совместим с направлениями осей эллипса (a, b — полуоси эллипса). Решение задачи о действии сосредоточенной силы в пластине с эллиптическим отверстием с использованием процедуры Грилицкого [6] и с учетом аналогии между плоской задачей и задачей изгиба пластин может быть получено в виде

$$\Phi(z_\nu) = E_\nu^{12}(z_\nu, \tau) = \omega'_\nu(\zeta_\nu)^{-1} [A_\nu \Psi_\nu(\zeta_\nu) \ln(\zeta_\nu - \eta_\nu) + l_\nu \bar{A}_1 \Psi_\nu^1(\zeta_\nu) \ln(\zeta_\nu^{-1} - \bar{\eta}_1) + n_\nu \bar{A}_2 \Psi_\nu^2(\zeta_\nu) \ln(\zeta_\nu^{-1} - \bar{\eta}_2) + \Psi_\nu^3(\zeta_\nu, \eta_\nu)]. \quad (8)$$

Здесь использованы конформные отображения внешности единичного круга $\gamma = |\sigma| = 1$ на внешность эллиптических отверстий Λ_ν в плоскостях $z_\nu = x + \mu_\nu y$, Λ (в плоскости $z = x + iy$):

$$z_\nu = \omega_\nu(\zeta_\nu) = \frac{a - i\mu_\nu b}{2} \zeta_\nu + \frac{a + i\mu_\nu b}{2} \frac{1}{\zeta_\nu}, \quad z = \omega(\zeta) = \frac{a + b}{2} \zeta + \frac{a - b}{2} \frac{1}{\zeta} \quad (9)$$

и обратные функции

$$\zeta_\nu = \zeta_\nu(z_\nu) = \frac{z_\nu - \sqrt{z_\nu^2 - (a^2 + \mu_\nu^2 b^2)}}{a - i\mu_\nu b}, \quad \zeta = \zeta(z) = \frac{z - \sqrt{z^2 - a^2 + b^2}}{a + b}, \quad \eta_\nu = \zeta_\nu(\tau_\nu). \quad (10)$$

Функции $\Psi_\nu(\zeta_\nu)$, $\Psi_\nu^i(\zeta_\nu)$ ($i = 1, 2$), $\Psi_\nu^3(\zeta_\nu, \eta_\nu)$ являются аналитическими вне единичного круга.

Если к пластине приложен сосредоточенный изгибающий момент, то комплексные потенциалы принимают вид

$$\Phi_\nu(z_\nu) = M_\nu^{12}(z_\nu, \tau) = \frac{1}{\omega'_\nu(\zeta_\nu)} \left(\frac{B_\nu}{\zeta_\nu - \eta_\nu} + \frac{l_\nu \bar{B}_1}{\zeta_\nu(\zeta_\nu \bar{\eta}_1 - 1)} + \frac{n_\nu \bar{B}_2}{\zeta_\nu(\zeta_\nu \bar{\eta}_2 - 1)} \right). \quad (11)$$

Краевые условия на контуре отверстия Λ определяются значениями величин l_ν , n_ν . Для жестко защемленного края отверстия l_ν , n_ν следует находить из (3), а для свободного края — из (4). Комплексные константы B_ν определены выше (см. п. 7).

Следует отметить, что получить решение данной задачи при заданных на контуре эллиптического отверстия смешанных краевых условиях ($w = 0$, $M_n = 0$) не удастся, поскольку в этом случае нельзя записать краевые условия через функции $\varphi_\nu(z_\nu)$. Это возможно в случае задания кинематических или статических краевых условий [2].

9. Решение задачи о действии сосредоточенных нагрузок в пластине с прямолинейным конечным разрезом может быть получено из (8)–(11), где следует положить $b = 0$. В частности, для нагружения сосредоточенным моментом получим

$$\begin{aligned} \Phi(z_\nu) = M_\nu^{13}(z_\nu, \tau) = \frac{B_\nu}{z_\nu - \tau_\nu} - \frac{B_\nu[I(z_\nu) - I(\tau_\nu)]}{2\sqrt{z_\nu^2 - a^2}(z_\nu - \tau_\nu)} + \\ + \frac{\bar{B}_1 l_\nu [I(z_\nu) - I(\bar{\tau}_1)]}{2(z_\nu - \bar{\tau}_1)} + \frac{\bar{B}_2 n_\nu [I(z_\nu) - I(\bar{\tau}_2)]}{2(z_\nu - \bar{\tau}_2)}, \\ I(z) = \sqrt{z^2 - a^2} - z. \end{aligned}$$

Сделаем замену переменных $z' = z + a$, $\tau' = \tau + a$, тогда из последнего выражения получим решение задачи о действии сосредоточенного момента в пластине с прямолинейным разрезом вдоль отрезка действительной оси $0 < x < 2a$. Осуществляя предельный переход при $a \rightarrow \infty$, найдем решение задачи для пластины с полубесконечным разрезом вдоль действительной оси $L = \{0 \leq x \leq \infty, y = 0\}$ при действии сосредоточенного момента:

$$\begin{aligned} \Phi(z_\nu) = M_\nu^{14}(z_\nu, \tau) = \frac{B_\nu}{z_\nu - \tau_\nu} - \frac{B_\nu}{2} \frac{1}{\sqrt{z_\nu}(\sqrt{z_\nu} + \sqrt{\tau_\nu})} + \\ + \frac{l_\nu}{2} \frac{\bar{B}_1}{\sqrt{z_\nu}(\sqrt{z_\nu} + \sqrt{\bar{\tau}_1})} + \frac{n_\nu}{2} \frac{\bar{B}_2}{\sqrt{z_\nu}(\sqrt{z_\nu} + \sqrt{\bar{\tau}_2})}. \end{aligned}$$

10. При решении задач изгиба пластин важную роль играют фундаментальные решения при наличии сосредоточенных дислокаций, являющихся функциями Грина, с помощью которых путем интегрирования могут быть построены потенциальные представления в виде интегралов от скачков смещений, распределенных с неизвестной плотностью, обеспечивающие заданные разрывы смещений вдоль разомкнутых или замкнутых кривых [7]. Для определения плотностей скачков используются условия на дефекте, приводящие к одному интегральному уравнению или к системе интегральных уравнений.

Пусть в пластине имеются дислокации, которые можно трактовать как разрывы смещений (прогибов и связанных с ними тангенциальных смещений). В случае, если задается разрыв прогибов w , напряженное состояние в пластине определяется по формулам, соответствующим решению в случае действия сосредоточенной силы P_z , однако при определении A_ν из первой системы уравнений в (2) в вектор-столбце правых частей \mathbf{f}_j ($j = 1, 4$) следует положить $f_1 = w/(2\pi i)$, $f_2 = f_3 = f_4 = 0$. Если заданы приращения тангенциальных смещений $w_x + iw_y$, то при определении B_ν из (2) в вектор-столбце правых частей \mathbf{d}_j следует положить $d_1 = w_x/(2\pi i)$, $d_2 = w_y/(2\pi i)$, $d_3 = d_4 = 0$. При этом напряженно-деформированное состояние следует определять по формулам, соответствующим решению в случае действия сосредоточенного изгибающего момента.

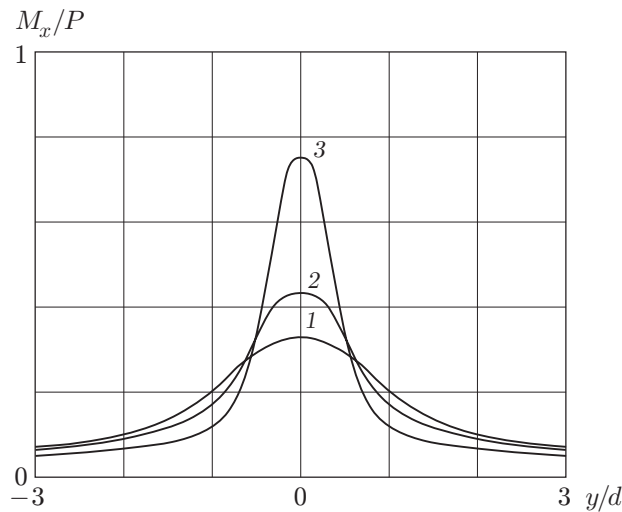


Рис. 6

| Номер материала | $E_1 \cdot 10^{-4}$, МПа | $E_2 \cdot 10^{-4}$, МПа | E_1/E_2 | $G \cdot 10^{-4}$, МПа | $M_{x \max}/P_z$ |
|-----------------|---------------------------|---------------------------|-----------|-------------------------|------------------|
| 1 | 27,610 | 27,610 | 1 | 11,044 | 0,3183 |
| 2 | 5,384 | 1,795 | 3 | 0,863 | 0,4398 |
| 3 | 27,610 | 1,104 | 25 | 0,552 | 0,7669 |

11. Для иллюстрации эффективности предлагаемых потенциальных представлений на рис. 6 показано распределение напряжений M_x в сечении $x = 0$ полуплоскости (по линии защемления) для различных ортотропных материалов ($\varphi = 0$), характеристики которых приведены в таблице (номера кривых соответствуют номерам материалов). Для всех материалов коэффициент Пуассона $\nu_1 = 0,25$. С увеличением степени ортотропии E_1/E_2 максимум напряжений $M_{x \max}$ в сечении заделки возрастает (см. таблицу). Вместе с тем наблюдается более быстрое затухание напряжений с удалением от проекции точки приложения силы P_z на линию $x = 0$. В случае ортотропной полуплоскости для вычисления напряжений по линии защемления можно получить следующее выражение:

$$M_x = \frac{|\mu_1|^2 P_z}{2\pi\alpha} \left(\operatorname{arctg} \frac{(y - \eta)(\alpha^2 + \beta^2) - \xi\alpha}{\xi\beta} - \operatorname{arctg} \frac{(y - \eta)(\alpha^2 + \beta^2) + \xi\alpha}{\xi\beta} \right).$$

Для изотропного материала ($M_{x \max} = P_z/\pi$) этот результат может быть получен из решения (3) или из последней формулы предельным переходом в параметрах анизотропии ($\alpha \rightarrow 0, \beta \rightarrow 1$).

ЛИТЕРАТУРА

1. Кончковский З. Плиты. Статические расчеты. М.: Стройиздат, 1984.
2. Лехницкий С. Г. Анизотропные пластинки. М.: Гостехтеоретиздат, 1957.
3. Максименко В. Н., Подружин Е. Г. Изгиб анизотропных пластин при наличии трещин сложной формы // Учен. зап. ЦАГИ. 1989. Т. 20, № 3. С. 81–90.
4. Фильштинский Л. А., Любчак В. А. Изгиб полубесконечной анизотропной пластины, ослабленной криволинейными разрезами // Прикл. механика. 1982. Т. 18, № 10. С. 63–67.
5. Корн Г., Корн Т. Справочник по математике. М.: Наука, 1974.

6. **Грилицкий Д. В.** Вплив точки прикладання сили і моменту на розподіл напружень у безмежній анізотропній пластинці з еліптичним отвором // Прикл. механіка. 1956. Т. 2, № 2. С. 159–166.
7. **Мусхелишвили Н. И.** Некоторые основные задачи математической теории упругости. М.: Изд-во АН СССР, 1954.

*Поступила в редакцию 23/IX 2002 г.,
в окончательном варианте — 17/I 2003 г.*
